

I - 70 一柱式橋脚の水平連成振動に関する研究

京都大学工学部 正員 工博 後藤 尚男
 京都大学工学部 正員 工修 勝見 雅
 京都大学大学院 学生員 ○龜田 弘行

1. まえがき 一柱式橋脚は、都市高速道路の下部構造として注目され、わが国でもすでに一部で実現されつつあるが、われわれはその耐震性について、動力学的な立場から研究を進めてきた。その成果の一部はすでに発表したが、¹⁾ そこでは主として杭打基礎を有する一柱式橋脚を対象としていた。その後井筒基礎の場合についても研究を行なつたので、以下にその要旨を述べる。

2. 水平連成振動の理論解析

(1) 自由振動

i) 井筒躯体の質量を考慮する場合

図-1 のような一柱式橋脚の連成振動モデルは図-2 のように表わされる。

同図において力の釣合いの条件式は

$$P_0 = P_1 + P_2, M_0 = M_1 + M_2 + (k + \alpha') P_1 \quad \dots \dots \dots (1)$$

と書かれ、また力と変形の関係より

$$\begin{aligned} y_1 - e\varphi_1 &= y_2 + (k + \alpha')\varphi_2 + P_1 R^2 / 3EI + M_1 k^2 / 2EI \\ \varphi_1 &= \varphi_2 + P_1 R^2 / 2EI + M_1 k / EI \\ k_R y_2 &= P_0, \quad k_R \varphi_2 = M_0 \end{aligned} \quad \dots \dots \dots (2)$$

一方上下部構造の運動方程式は、

$$P_1 = -m_1 \ddot{y}_1, \quad P_2 = -m_2 (\ddot{y}_2 + d'' \ddot{\varphi}_2), \quad M_1 = -m_1 (e \ddot{y}_1 + k^2 \ddot{\varphi}_1), \quad M_2 = -m_2 (d'' (\ddot{y}_2 + \alpha' \ddot{\varphi}_2) + k^2 \ddot{\varphi}_2) \quad \dots \dots \dots (3)$$

と表わされる。さらに、固有振動数を ω_n として、

$$(P_1, P_2, P_0, M_1, M_2, M_0, y_1, y_2, \varphi_1, \varphi_2) = (P_{10}, P_{20}, P_{00}, M_{10}, M_{20}, M_{00}, y_{10}, y_{20}, \varphi_{10}, \varphi_{20}) \cos \omega_n t \quad \dots \dots \dots (4)$$

これを式(1)～式(3)に代入して整理すると、結局つきの振動数方程式が得られる。

$$\begin{vmatrix} \alpha_1(2+3\beta_1)m_1n^2-1, & 1, & (\beta_1+3\alpha_1\beta_2m_2n^2), & \beta_3 \\ 3\alpha_1(1+2\beta_1)m_1n^2, & 0, & (6\alpha_1\beta_2m_2n^2-1), & 1 \\ \alpha_2m_2n^2, & (\alpha_2m_2n^2-1), & 0, & \alpha_2\beta_4m_2n^2 \\ \alpha_2(\beta_1+\beta_2)m_1n^2, & \alpha_2\beta_2m_2n^2, & \alpha_2\beta_4m_2n^2, & (\alpha_2\beta_4m_2n^2-1) \end{vmatrix} = 0 \quad (5)$$

ただし $\beta_1 = k^2/6EI, \beta_2 = k^2/k_R, \alpha_1 = 1/k_R, \beta_3 = e/k$

$$\beta_2 = k^2/k_R^2, \beta_3 = 1 + \alpha_1/k_R, \beta_4 = \alpha_1/k_R, \beta_5 = (k_2^2 + d'^2)/k_R^2$$

ii) 井筒の質量を無視する場合 ($m_2 = 0$)

井筒の質量 m_2 を無視し、式(5)で $m_2 = 0$ とおけば

ば、固有振動数を求める式が、つきの形とあって得られる。

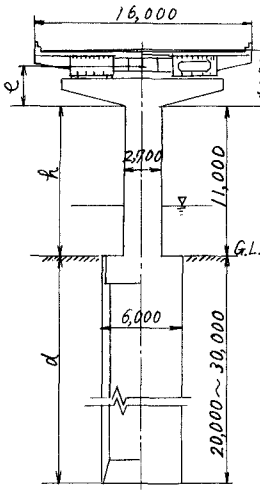


図-1 一柱式橋脚の概略図
(阪神高速道路大阪1号線): 単位mm

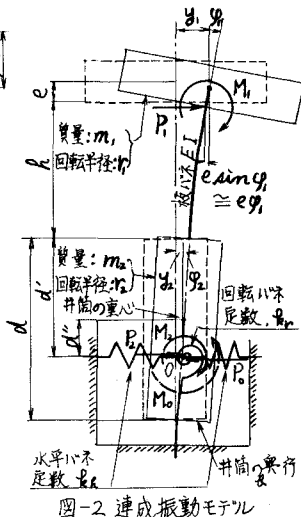
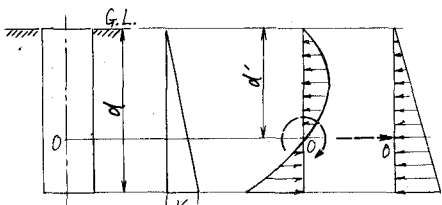


図-2 連成振動モデル



(a) 水平地盤係数分布
(b) 井筒の高さのまわりの回転による水平地盤反力
(c) 井筒の高さのまわりの回転による水平地盤反力

図-3 水平地盤係数および井筒の回転による運動による水平地盤反力の分布(破線は外力)

$$1/n_1^2, 1/n_2^2 = (B \pm \sqrt{B^2 - 4\beta_2 C})$$

ただし n_1, n_2 は、それぞれ 1 次と 2 次の固有振動数。

$$\begin{aligned} \text{すなはち}, B &= 6\alpha_1(\beta_1 + \beta_2) + \alpha_2(\beta_1 + \beta_2)^2 + (2\alpha_1 + \beta_2)\alpha_3 + \alpha_3 \\ C &= 3\alpha_1^2 + 2\alpha_1\alpha_2(1 + 3\beta_2(\beta_2 - 1)) + 6\alpha_1\alpha_3 + \alpha_2\alpha_3 \end{aligned} \quad (7)$$

(2) 強制振動（井筒の質量を無視する場合： $m_s = 0$ ）

図-2 に地動 $x = a_0 \cos \omega t$ が作用する場合も式(1), 式(2)が成り立つ。一方式(3)の y_1, y_2 , 式(4)の φ を、それぞれ $y_1 + x, y_2 + x, \varphi$ で書き換えればよいから、これらより、式(4)

右辺の 10 個の定常振幅が求められるが、ここにその一部を書けばつきのようになる。

$$y_{10} = W_1 k_0 (-m_1 \beta_2 C p^2 + B - B') / \Delta, \quad \varphi_{10} = W_1 k_0 D / \Delta \quad (8)$$

ここで、 $\Delta = m_1^2 \beta_2 C p^4 - m_1 B p^2 + 1$

ただし、 $W_1 = m_1 g$ ：上部構造 1 連の重量、 k_0 ：水平振度

また、 B, C は式(7)で与えられ、 B' と D は、

次式により算出される。

$$B' = (6\alpha_1 + \alpha_2)\beta_2, \quad D = 3\alpha_1(1 + 2\beta_2) + \alpha_2(\beta_1 + \beta_2) \quad (9)$$

また、 $y_{20} = W_1 k_0 \alpha_2 (1 + y_{10}/a_0)$

$$\varphi_{20} = W_1 k_0 \alpha_2 \{(\beta_1 + \beta_2)(1 + y_{10}/a_0) + \beta_2 \varphi_{10} y_{10}/a_0\} \quad (10)$$

(3) 基礎地盤のバネの深さ (d_s, d_s')、回転バネ定数 (k_{tr})

および水平バネ定数 (k_h)

基礎地盤の水平地盤係数が図-3(a)のような三角形分布をなすものと仮定すれば、図-2 における d_s, k_{tr}, k_h は、つきのように算出される。

$$d_s' = 2d/3, \quad d_s = d/6, \quad k_{tr} = 8d^3 K_A/36, \quad k_h = 8d K_A/2 \quad (11)$$

3. 模型実験による数値計算

図-4 のような一柱式橋脚の模型を作製し、振動実験を行なって得られた模型の固有振動数と、2.1: における理論解に基づく計算値と比較して、表-1 に示したが、両者はかなりよく対応している。

つきに、図-5, 図-6 は、それぞれ図-1 に對し、2. の結果を適用して計算した、連成 1 次と 2 次の固有振動周期、および橋脚上下端における曲げモーメントの定常振幅 (上端: M_{10} , 下端: M_{20}) と、慣用震度法による橋脚下端の曲げモーメント (M_s) の比を示したものである。

これらの説明は講演時にゆずる。

① 地震工学国内シンポジウム (1962), 講演集, pp.141-146.

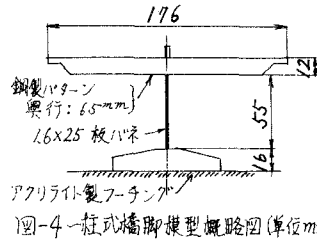


表-1 模型の固有振動数 (c/s)

	実験値	計算値	
		連成1次不系	慣用震度小系
フーリング下面全固定	14.3	15.3	28.8
フーリング下面弹性固定	13.0	14.3	

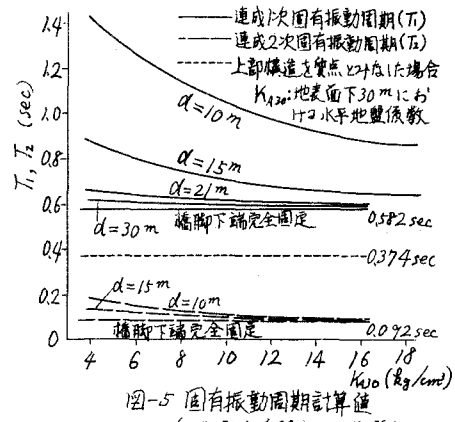


図-5 固有振動周期計算値
(阪神高速道路大阪1号線)

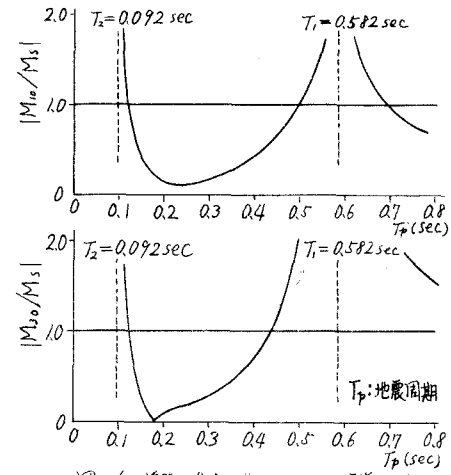


図-6 橋脚に生ずる曲げモーメントの定常振幅
(阪神高速道路大阪1号線; 橋脚下端完全固定)